

## مبانی طراحی و ساخت دستگاه آزمایش تحقیقاتی توربین گازی جریان شعاعی

علی حاجیلوی \*، مرتضی قلیچ خانی \*\*، شهرام قاسمی اصفهانی \*\*  
دانشکده مهندسی مکانیک، دانشگاه صنعتی شریف،

(دریافت مقاله: ۸۰/۸/۱۶ - دریافت نسخه نهایی: ۸۱/۴/۲۲)

چکیده - در این مقاله ضمن بررسی اجمالی زمینه های تحقیقات تجربی توربینهای گازی جریان شعاعی، ضرورت و مبانی طراحی و ساخت دستگاه آزمایش توربین گازی دانشگاه صنعتی شریف بیان شده و ساختار دستگاه آزمایش تشریح می شود. سپس کالibrاسیون و استاندارد وسائل اندازه گیری و روش انجام آزمایش مطرح می شود. در خاتمه نتایج آزمایشها ارائه شده و مورد بررسی قرار می گیرد. نتایج به دست آمده و نمودارهای مشخصات رفتاری توربین با الگوی مورد انتظار و نیز نتایج محققان این زمینه مطابقت خوبی تثان می دهد. بنابراین عملکرد دستگاه آزمایش در حد مطلوب و دقیق بوده و قابل استناد است.

واژگان کلیدی: موتورهای درونسوز، توربوچارجینگ، توربین جریان شعاعی، دو ورودی، تحقیقات تجربی

## Fundamentals Design and Set up Radial Inflow Gas Turbine Research Lab

A . Hagilouy, M. Ghelich khani and S. Ghasemi  
Sharif University of Technology, School of Mechanical Engineering

**Abstract:** In order to carry out experimental investigations on radial inflow gas turbine, a special test laboratory was designed and constructed at sharif University of Technology. This laboratory is introduced in the present paper and experimental procedures are elaborated on. Then, some test results are presented and discussed. The trends of performance characteristics math our expectation and show good agreement with the published research results in this field.

**Keywords:** Radial inflow gas turbine, Experimental, Laboratory, Performance characteristics.

\* - استادیار      \*\* - کارشناسی ارشد

## لیست علامت

۵: ورود روغن به توربوجارجر	علامت اصلی
۶: خروج روغن از توربوجارجر	$E_{tta}$ : بازده کل به استاتیک توربین
۷: انتهای محور توربوجارجر در سمت توربین	$m$ : دمی جرمی
۸: انتهای محور توربوجارجر در سمت کمپرسور	$P$ : فشار
۹: کمپرسور توربوجارجر	$Pr$ : نسبت فشار
۱۰: ورودی سمت چپ توربین توربوجارجر	$\dot{Q}$ : توان حرارتی تلف شده
۱۱: ایزنتروپیک	$T$ : دما
۱۲: شرایط سکون	$\dot{W}$ : توان
۱۳: روغن روانساز توربوجارجر	$\beta$ : نسبت گرمahای ویژه
۱۴: ورودی سمت راست توربین توربوجارجر	$\eta$ : بازده
۱۵: نسبی	زیرنویس ها
۱۶: شرایط استاتیک	۱: ورودی توربین توربوجارجر
۱۷: توربین توربوجارجر	۲: خروجی توربین توربوجارجر
۱۸: کل به استاتیک	۳: ورودی کمپرسور توربوجارجر
۱۹: خروجی کمپرسور توربوجارجر	۴: خروجی کمپرسور توربوجارجر

## ۱- مقدمه

توربین بوده است [۱و۲]. این تغییر و تحول در ساختار توربین به منظور رسیدن به مشخصات رفتاری مناسبتر صورت می‌گیرد. منظور از مشخصات رفتاری، منحنیهای تغییرات بازده ایزنتروپیک، پارامتر جرمی، نسبت فشار و نسبت سرعت بر حسب یکدیگر است. شرایط کار واقعی توربین بر روی موتور به صورت غیر دائم<sup>۱</sup> است، اما نشان داده شده است که فرکانسهای ضربانی به اندازه کافی کم است که در طی آن جریان بصورت دینامیکی در حال تعادل باشد و بتوان آن را شبه تعادلی<sup>۲</sup> در نظر گرفت [۳و۴]. براین اساس نتایج تجربی حالت دائم در تحلیل غیر دائم به کار بردۀ می‌شود. در تحلیل شبه دائم، جریان در بازه های زمانی<sup>۳</sup> کوتاه، دائمی فرض می‌شود. در بعضی از مراجع در این بازه های کوتاه از مدلهای جریان دائم استفاده می‌شود[۴و۵]. مدلهای جریان دائم شامل ضرایب تجربی هستند که با استفاده از نتایج آزمایش های حالت دائم به

امروزه در بسیاری از موتورهای درونسوز مورد استفاده در صنایع مختلف برای افزایش توان ویژه (توان در واحد وزن یا حجم)، کاهش مصرف سوخت ویژه و کاهش آلاینده ها از توربوجارجر استفاده می شود. در سیستم های توربوجارجینگ، توربین با جذب بخشی از انرژی موجود در محصولات احتراق، کمپرسور را که در مسیر هوای ورودی سیلندرها قرار دارد به حرکت در می آورد؛ کمپرسور چگالی هوا را افزایش می دهد که نتیجه این فرایند بهبود احتراق و افزایش توان است. جریان هوای کمپرسور نسبت به جریان اگزوژ که حالت ضربانی دارد در شرایط یکنواخت تری قرار دارد. مطالعه منابع موجود نشان می دهد که با توجه به پیچیدگی جریان توربین، تحقیقات بیشتری در مورد آن صورت گرفته است و عمده تحولات توربوجارجینگ ناشی از تغییر و تحول در طراحی و کاربرد

دستگاههای آزمایش مورد استفاده در مراجع [۱۰-۱۳] اشاره کرد. البته در بعضی از تحقیقات خاص که جزئیات جریان سیال مورد نظر نیست از محصولات احتراق برای به حرکت درآوردن توربین استفاده می‌شود. دستگاه آزمایش مرجع [۱۴] تنها نمونه‌ای از این گونه دستگاههای است که مطالب آن در دسترس نگارندگان مقاله است.

برای جذب توان توربین از کمپرسور یا دیناموتور استفاده می‌شود. اشکال استفاده از کمپرسور محدود بودن دامنه کار آن به دو حد سرچ و خسگی کمپرسور است. در حالی که با دیناموتور می‌توان محدوده وسیعتری را مورد آزمایش قرار دله. از آنجا که کار با کمپرسور حالت واقعیتی دارد سعی می‌شود که تا حد امکان از آن استفاده شود. یکی از روشهای مورد استفاده برای وسیعتر کردن محدوده کار کمپرسور استفاده از هوای متراکم در ورودی کمپرسور است [۱۲]. روش دیگر استفاده از چند کمپرسور در اندازه‌های مختلف برای جذب توان در محدوده‌های کاری مختلف است [۱۵].

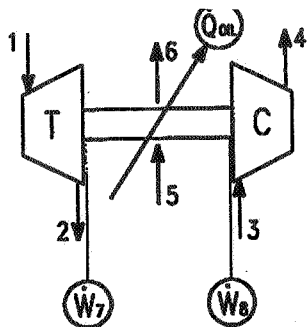
## ۲- ضرورت طراحی و ساخت دستگاه آزمایش تحقیقاتی

متأسفانه هنوز در کشور ما طراحی و ساخت توربوجارجر آغاز نشده است. سازندگان توربوجارجر نیز اطلاعات فنی و مشخصات رفتاری توربوجارجرهای خود را در اختیار دیگران قرار نمی‌دهند. مطالعات اولیه‌ای که برای بررسی وضعیت توربوجارجر در صنایع کشور به خصوص صنایع حمل و نقل ریلی و آبی توسط نگارندگان مقاله انجام شد نشان داد که به دلیل نبود اطلاعات مناسب در این زمینه با مشکلات و آنسیوهای مالی زیادی مواجه اند. همان طور که اشاره شد روشهای تحلیلی در به دست آوردن مشخصات موردنیاز به تنها یک جوابگو نیستند. به همین دلیل وجود آزمایشگاهی در این زمینه کاملاً ضروری است. تا اینکه با مطالعات تجربی امکان تهیه منحنیهای مشخصات رفتاری توربین و کمپرسور به طور دقیق فراهم شده و تعیین نقطه طراحی آنها میسر شود. نیز در انجام

دست می‌آیند. در برخی دیگر از مراجع مستقیماً از نمودارهای حالت دائم در پیش‌بینی جریان غیر دائم استفاده می‌شود [۶]. این نوع مدل سازیها در تطبیق بهینه موتور و توربوجارجر [۷، ۸] و طراحی اولیه توربین [۹] مورد استفاده قرار می‌گیرد. علاوه بر این با تفسیر این منحنیها ایده‌های مناسب برای اصلاح ساختار توربینهای موجود به دست می‌آید [۱۰، ۱۲].

با وجود پیشرفتهای فراوان روشهای عددی، پذیرش نتایج حاصل از آنها همواره با تردیدهایی همراه بوده است. این تردیدها ناشی از مدل سازی جریان مغشوش، غیر دائم بودن جریان در محفظه، اعتبار روشهای عددی و ساده سازندهای مربوط به حل جریان توربین است. به همین دلیل برای رسیدن به نتایج قابل اعتماد، بیبود مدل‌های موجود و اصلاح روشهای عددی، تحقیقات تجربی همچنان جایگاه خود را در این زمینه حفظ کرده‌اند.

در این زمینه اساس کار تحقیقات تجربی این است که با استفاده از جریان یک گاز، توربین به حرکت در می‌آید و توان حاصل از آن به طریقی جذب می‌شود. مشخصات گاز محرک و نحوه جذب توان تولیدی در دستگاههای آزمایش مختلف، متفاوت است. به نظر می‌رسد که استفاده از محصولات احتراق به عنوان گاز محرک از این جهت که به شرایط موتور نزدیکتر است بهتر باشد ولی به علت مشکلاتی که دارد در دستگاههای آزمایش تحقیقاتی کمتر مورد توجه قرار می‌گیرد. علاوه بر مسائل مربوط به تجهیزات ایجاد احتراق، کار اندازه گیری در چنین جریانی مشکلتر است. زیرا به علت وجود ذرات معلق، مثلاً استفاده از سیم داغ بررسی سرعت سنتجی یا دبی سنتجی عملی نیست. سرعت سنتجی لیزری نیز به علت شفاف نبودن محیط قابل کاربرد نیست. وسایل اندازه گیری معمولی مثل پیوت و ترموموپل نیز با مشکل رسوب زیاد مواجه اند. البته تحمل دمای زیاد توسط وسائل اندازه گیری نیز مشکل دیگری است که به راحتی رفع نمی‌شود. به دلیل مشکلات فوق، عموماً برای به حرکت در آوردن توربین عمدتاً از هوای فشرده استفاده می‌شود به عنوان نمونه می‌توان به



شکل ۱- موازنۀ انرژی بر روی محور توربوجارجر

انرژی ضربانی موجود در جریان اگزوز موتورهای درونسوز ابداع شد. در این نوع توربوجارجرینگ هر کدام از ورودیهای توربین گازهای خروجی یک دسته از سیلندرها را دریافت می‌کند، با توجه به شرایط غیردائم و ضربانی جریان، شرایط هر یک از ورودیها می‌توانند کاملاً متفاوت باشد. به همین دلیل دستگاه آزمایش باید این قابلیت را داشته باشد که در هر یک از ورودیهای توربین به طور مستقل در جریانهای متفاوتی را ایجاد کند. نوع کمیتهایی که باید اندازه گیری شوند با توجه به روابط حاکم بر توربین بصورت زیر تعیین می‌شوند.

با توجه به شکل (۱) برای بازده کل به استاتیک توربین می‌توان

نوشت:

$$\eta_{t-is} = \frac{\dot{W}_7}{\dot{W}_{t-is}} \quad (1)$$

$\dot{W}_7$  توان واقعی توربین در محور توربوجارجر در انتهای سمت توربین است. از آنجا که شرایط جریان در خروجی توربین چرخشی است، تعیین افت انتالپی واقعی توربین با استفاده از شرایط جریان در این مقطع از دقت مناسبی برخوردار نیست [۱۳-۱۰]، به همین دلیل توان واقعی توربین به صورت زیر محاسبه می‌شود.

$$\dot{W}_7 = \dot{W}_8 + \dot{Q}_{oil} \quad (2)$$

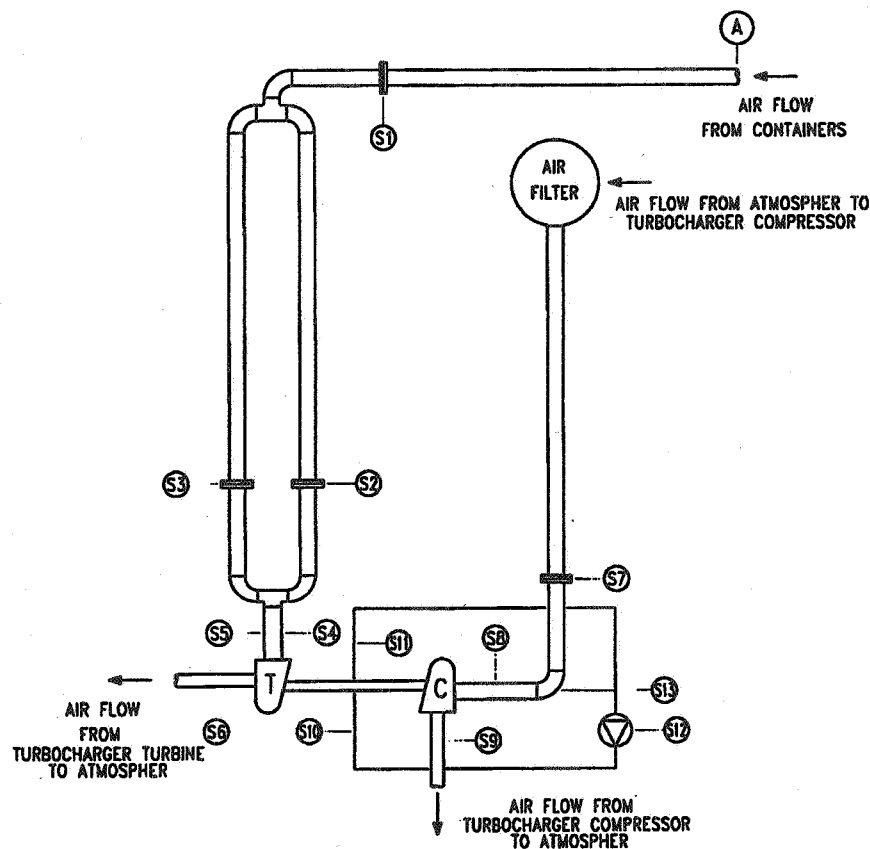
$\dot{W}_8$  توان موجود در محور توربوجارجر در انتهای سمت کمپرسور است. این کمیت توانی است که در اختیار کمپرسور قرار می‌گیرد. اگر قانون بقای انرژی را برای حجم کنترلی که تنها شامل کمپرسور توربوجارجر است بنویسیم،  $\dot{W}_8$  به

مراحل عملی تطابق موتور و توربوجارجر از امکانات آزمایشگاه استفاده شود. همچنین مطالعات پارامتری به منظور افزایش بازده توربوجارجر صورت گیرد. بالاخره ارزیابی مدلسازی رفتار توربین و کمپرسور بر مبنای نتایج تجربی و اصلاح مدل در راستای بهبود و تکمیل آن می‌تواند مدنظر قرار گیرد. از این رو پس از طراحی‌های اولیه و جلب حمایت مستولین ذیرسط، مراحل ساخت این آزمایشگاه از سال ۱۳۷۳ در دانشگاه صنعتی شریف آغاز شد. با توجه به نوع کار که طراحی و ساخت اجزای زیادی را لازم داشت و نیز تهیه تجهیزات پرهزینه که به علت محدودیتهای اعتباری پروژه توأم با مشکلاتی بود، انجام آن به تدریج صورت گرفت. در حال حاضر این آزمایشگاه برای تعیین مشخصات رفتاری حالت دائم توربینهای گازی جریان شعاعی دو ورودی با حدود توان ۱۰ کیلووات که نوع رایج توربینهای مورد استفاده در اتوبوسها و کامیونهاست، تجهیز شده است. شایان ذکر است که عموماً عمدۀ فعالیتهای تحقیق و توسعه‌ای (R&D) انجام شده در این زمینه با حمایت شرکت‌های سازنده توربوجارجر در آزمایشگاه‌هایی که به این منظور در دانشگاه‌هایی نظیر امپریال کالج، پردو، بث و ... تأمین شده است صورت می‌گیرد که در صورت فراهم شدن امکان ساخت توربوجارجر در داخل کشور این آزمایشگاه می‌تواند در ارزیابی مشخصات رفتاری واقعی و مقایسه آن با مشخصات رفتاری طراحی و در نتیجه بهبود طراحی بر مبنای نتایج تجربی کمکهای مناسبی را ارائه کند.

در ادامه این نوشتار ابتدا ساختار دستگاه آزمایش و روش انجام آزمایشها توضیح داده می‌شود و سپس نتایج حاصل از آزمایش‌های انجام شده برای تعیین رفتار حالت دائم یک توربین گازی جریان شعاعی دو ورودی در حالت‌های جریان یکسان دو ورودی و جریان متفاوت ورودیها ارائه می‌شود.

### ۳- مبنای طراحی دستگاه آزمایش

توربین گازی جریان شعاعی دو ورودی برای استفاده از



شکل ۲- طرحواره دستگاه آزمایش توربوقارجر و ایستگاههای اندازه گیری آن

صورت زیر به دست می آید:

$$\dot{W}_g = \dot{m}_c T_{03} [C_p 4 T_{04} - C_p 5 T_{05}] \quad (5)$$

$$\dot{Q}_{oil} = \dot{m}_{oil} [C_p 5 T_{05} - C_p 6 T_{06}] \quad (6)$$

$$\dot{W}_{outer-is} = \dot{m}_{outer} T_{01-outer} \left[ C_{p1-outer} - C_{p2} \left( \frac{P_{s2}}{P_{01-outer}} \right)^{\frac{1}{\gamma}} \right] \quad (7)$$

$$\dot{W}_{inner-is} = \dot{m}_{inner} T_{01-inner} \left[ C_{p1-inner} - C_{p2} \left( \frac{P_{s2}}{P_{01-inner}} \right)^{\frac{1}{\gamma}} \right] \quad (8)$$

با استفاده از معادلات ۱ تا ۸ و بر مبنای نتایج آزمایشها می توان بازده کل به استاتیک توربین را تعیین کرد.

پارامتر جرمی، نسبت فشار و سرعت دورانی چرخ توربین سه مشخصه مهم دیگر توربین هستند.

صورت زیر به دست می آید:

$$\dot{W}_g = \dot{m}_c (h_{04} - h_{03}) \quad (3)$$

$\dot{Q}_{oil}$  در واقع افت انرژی مکانیکی در یاتاقانهای توربوقارجر است که بصورت تلفات گرمایی توسط روغن جذب می شود و بر مبنای افزایش آنتالپی روغن در عبور از توربوقارجر تعیین می شود.

در مورد توربینهای دو ورودی در حالت ایزنتروپیک می توان گفت که توان کل توربین برابر است با مجموع توانهای حاصل از انساط ایزنتروپیک جریان هر یک از ورودیها از شرایط جریان در آن ورودی تا شرایط یکسان در خروجی توربین.

بنابراین:

$$\dot{W}_{t-is} = \dot{W}_{outer-is} + \dot{W}_{inner-is} \quad (4)$$

با توجه به معادلات ترمودینامیکی، هر یک از کمیتهای بالا به

آزمایشها بی که هدف از آنها مطالعه جزئیات جریان خروجی توربین است ایستگاه اندازه گیری S6 در پایین دست توربین تعییه شده است. در این ایستگاه فشارهای استاتیک و سکون و دما اندازه گیری می شود. از آنجا که جریان در این قسمت به صورت چرخشی و غیرنامتقارن است از چند ترموموپل و پیتوت در شعاعهای مختلف برای تعیین توزیع دما و فشار در خروجی توربین استفاده می شود.

در حال حاضر برای جذب توان توربین از کمپرسور استفاده می شود. به این ترتیب از مجموعه توربوجارجر به عنوان واحد مورد آزمایش استفاده می شود. در مسیر ورودی کمپرسور جریان محیط پس از عبور از فیلتر در ایستگاه اندازه گیری S7 با اوریفیس دبی سنجی می شود. در ایستگاههای اندازه گیری S8 و S9 که در ورودی و خروجی کمپرسور قرار دارند دما و فشار استاتیک و سکون اندازه گیری می شود.

برای روانسازی و نیز خنک کاری محور توربوجارجر یک چرخه بسته روغن تعییه شده است. در ایستگاههای اندازه گیری S10 و S11 در مسیر روغن و در محل ورود روغن به توربوجارجر و خروج روغن از آن دما اندازه گیری می شود. در ایستگاه اندازه گیری S12 نیز دبی روغن اندازه گیری می شود. سرعت دوران چرخ توربین در ایستگاه اندازه گیری S13 با استفاده از یک دورستخ نوری اندازه گیری می شود. توربوجارجر مورد آزمایش از نوع دو ورودی و محصول شرکت شوایتزر<sup>۴</sup> و دارای شماره فنی ۳۱۲۳۰۰ است. شکل (۳) مقطع یک نمونه از توربوجارجر دو ورودی شوایتزر را به همراه فهرست قطعات اصلی آن نشان می دهد.

## ۵- کالیبراسیون و استانداردها

مبای دبی سنجی جریان، استاندارد BS 1042 است. مشخصات هندسی اوریفیسها در ایستگاههای مختلف با توجه به محدوده دبی عبوری از آنها و با توجه به استاندارد بالا تعیین شده است. با توجه به محدوده زیاد دبی جریان، در هر ایستگاه

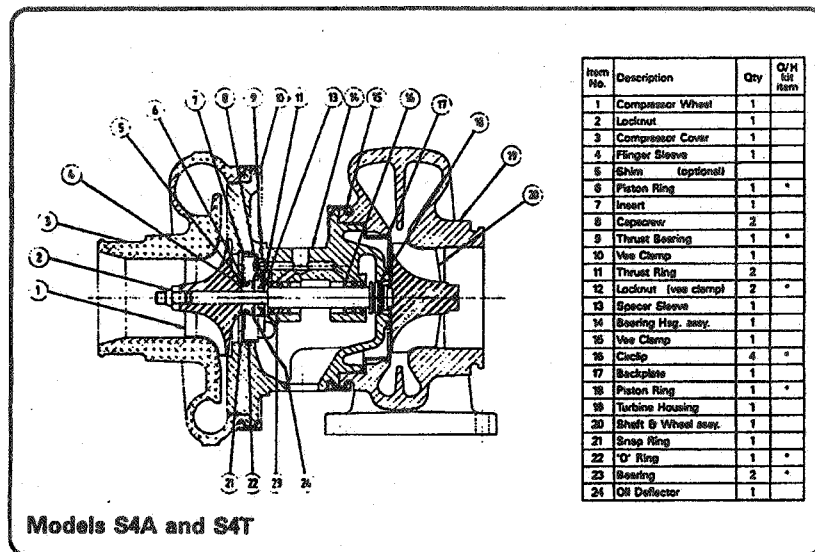
$$\text{mass parameter} = \frac{\dot{m}_t \sqrt{T_{01}}}{P_{01}} \quad (4)$$

$$P_{rt} = \frac{P_{01}}{P_{s2}} \quad (5)$$

با استفاده از معادلات ۹ و ۱۰ و نتایج آزمایشها، پارامتر جرمی و نسبت فشار توربین محاسبه می شوند. معمولاً در این نوع دستگاههای آزمایش در تعیین مشخصات رفتار حالت دائم برای اندازه گیری دبی از اوریفیس استفاده می شود. با توجه به ماهیت این نوع دبی سنجی برای تعیین دبی به اندازه گیری فشار و دمای بالادست اوریفیس و افت فشار جریان در عبور از آن نیاز داریم. به این ترتیب به جز سرعت برای تعیین سایر مشخصات رفتاری باید دما و فشار را در نقاط مختلف اندازه گیری کنیم.

## ۶- ساختار دستگاه آزمایش

طرحواره دستگاه آزمایش ساخته شده در آزمایشگاه توربوجارجر دانشگاه صنعتی شریف در شکل (۲) نشان داده شده است. در این آزمایشگاه برای شبیه سازی جریان اگزوز از هوای فشرده استفاده می شود. با استفاده از سه دستگاه کمپرسور پیچی، هوا به فشار دلخواه رسیده و در سه مخزن ذخیره می شود. باز کردن شیرهای کنترل و قطع و وصل جریان که در مسیر بعد از مخازن تعییه شده است جریان به نقطه A می رسد. در مسیر هوا تا قبل از نقطه A فیلترهای تعییه شده ذرات و بخار آب را جذب می کنند. ابتدا در ایستگاه اندازه گیری S1 دبی جریان با اوریفیس نوع D و  $\frac{D}{2}$  اندازه گیری می شود. از آنجا که توربین مورد آزمایش از نوع دو ورودی است مسیر هوا بعد از ایستگاه S1 به دو شاخه تقسیم می شود. در ایستگاههای اندازه گیری S2 و S3 با دو اوریفیس دبی هر شاخه اندازه گیری می شود. در ایستگاههای اندازه گیری S4 و S5 فشارهای سکون و استاتیک و دمای جریان در ورود به توربین اندازه گیری می شود. معمولاً جریان هوای خروجی از توربین مستقیماً به اتمسفر تخلیه می شود ولی برای انجام



شکل ۳- مقطع یک نمونه توربوجارجر دو ورودی شوابیتر

دورانی تا  $100/000$  دور در دقیقه را دارد که بسیار مناسب توربوجارهای کوچک و متوسط است. این دورشنجهای کالیبر شده عرضه می‌شوند. برای اطمینان از کالیبراسیون آن مطابق کاتالوگ مربوطه از لامپهای فلوئورستن متصل به برق شهر استفاده می‌شود که باید فرکانس  $50$  هرتز را در ایران نشان دهد.

برای تعیین مقادیر مربوط به فشارهای استاتیک و سکون از مانومترهای جیوه ای و آبی استفاده می‌شود که مانومتر جیوه ای برای قرائت فشارهای زیاد و مانومتر آبی برای قرائت فشارهای کم است. این نوع مانومترها استاندارد بوده و از دقت لازم برخوردارند.

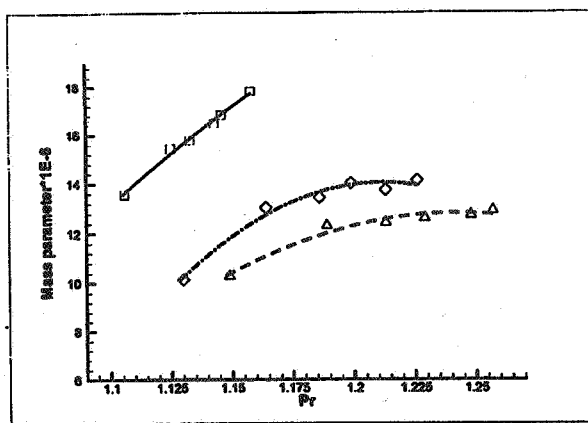
#### ۶- روش انجام آزمایش

چند سری آزمایش که با امکانات موجود ممکن توان آنها را ترتیب داده و نتایج مربوطه را استخراج کرد انجام می‌گیرد تا عملکرد دستگاه آزمایش مشخص و با دستگاههای مشابه مقایسه و ارزیابی شود. معمولاً مشخصات رفتاری توربین به صورت منحنيهای بازده، نسبت فشار و پارامتر جرمی-نسبت فشار در دورهای مختلف ارائه می‌شود. در این تحقیق

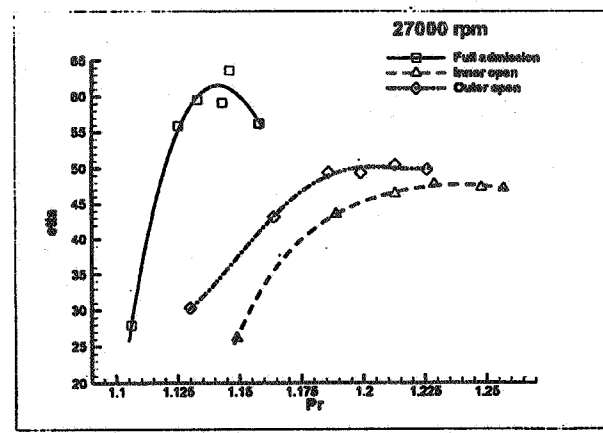
دو اروپیس با هندسه مختلف ساخته شده است. براساس این استاندارد قبل و بعد از هر اروپیس، جریان باید از یک مسیر مستقیم با طول مشخص عبور کند که این طولها مطابق استاندارد در نظر گرفته شده اند.

دماستجی با استفاده از ترموموکوپلهای نوع آبدون غلاف صورت می‌گیرد. از آنجا که محدوده دمایی مورد اندازه گیری نسبتاً زیاد است و از هوای داغ ورودی توربین تا هوای سرد خروجی از آن متغیر است ترموموکوپلهای باید در این محدوده دما از دقت مناسبی برخوردار باشند که این نوع ترموموکوپل دارای این ویژگی است. کالیبراسیون ترموموکوپلهای بر مبنای دمای تعادلی انجام و تبخیر آب و نیز با استفاده از یک دماستج کالیبر شده بسیار دقیق نوع PRT انجام شد. به این ترتیب اندازه گیریهای دما از دقت لازم برخوردار است.

برای اندازه گیری سرعت دوران توربین از یک دورسنج نوری استفاده می‌شود. مبنای کار این نوع دورسنج آن است که پالسهای ارسالی از منبع، توسط یک منعکس کننده مخصوص که روی پرهای کمپرسور توربوجارجر نصب شده بازگردانده می‌شود. دستگاه دورسنج با شمارش این پالس ها دور در دقیقه را تعیین می‌کند. این دورسنج قابلیت اندازه گیری سرعت های



شکل ۵- تغییرات پارامتر جرمی دو مقابله نسبت فشار توربین در سه حالت و در سرعت ۲۷۰۰۰ rpm



شکل ۶- تغییرات بازده در مقابله نسبت فشار توربین در سه حالت و در سرعت ۲۷۰۰۰ rpm

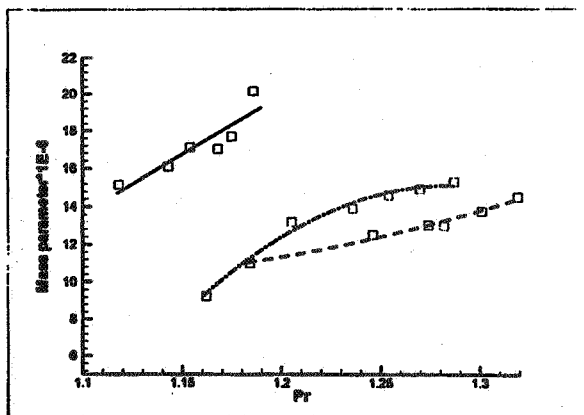
بسته شان داده می شود. همانطور که مشاهده می شود حداکثر بازده مربوط به حالت اول یعنی وقتی توزیع یکنواخت جریان در اطراف چرخ توربین وجود دارد، و حداقل آن مربوط به حالت دوم است. ضمناً منحنی حالت اول تیزتر از دو حالت دیگر است و آن به علت محدوده کمتر فشار در این حالت است. کاهش بازده در دو حالتی که یکی از مجاری بسته است می تواند به غلت افزایش انتهای اصطکاکی جریان و عدم توزیع یکنواخت جریان در ورودی به چرخ توربین و وجود زاویه برخورد زیادتر باشد.

شکل (۵) تغییرات پارامتر جرمی در مقابله نسبت فشار برای سرعت ۲۷۰۰۰ دور در دقیقه توربین و سه حالت فوق الذکر را نشان می دهد. برای نسبت فشار یکسان پارامتر جرمی حالت اول حداکثر است. که با توجه به سطح جریان بیشتر مورد انتظار است. همچنین پارامتر جرمی حالت سوم بیش از حالت دوم است و این امر همانگی با منحنیهای بازده دارد. به نظر می رسد شکل هندسی مجرای بیرونی مناسبتر از شکل هندسی مجرای درونی است و لذا جریان را بیشتر و بهتر از خود عبور می دهد. در شکل های (۶) و (۷) تغییرات بازده و پارامتر جرمی در مقابله نسبت فشار را برای سرعت ۳۰۰۰۰ دور در دقیقه توربین مشاهده می کنیم. روند کلی تغییرات این دو شکل

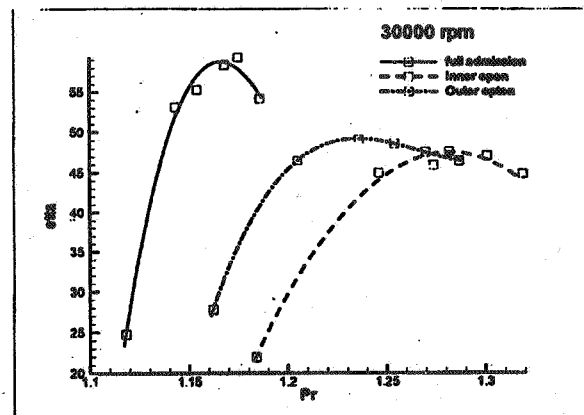
مشخصات رفتاری در هر دور برای سه حالت به دست می آید. در حالت اول هر دو ورودی توربین کاملاً باز هستند. در حالت دوم یکی از ورودی ها باز و دیگری کاملاً بسته و در حالت سوم برعکس می شود. در هر دور آزمایشها از حالت حداکثر دبی آغاز می شود. با تنظیم شیرهای کنترل جریان در مسیر ورودی توربین و مسیر ورودی و خروجی کمپرسور دبی توربین طوری تغییر داده می شود که سرعت دوران آن ثابت بماند. به این ترتیب در هر دور ۵ تا ۷ وضعیت مختلف ایجاد می شود که با استفاده از اندازه گیریهای انجام شده و محاسبات مربوط، منحنیهای مشخصه توربین در آن دور به دست می آید. در این تحقیق، اندازه گیریها در سرعتهای دوران ۲۷۰۰۰، ۳۰۰۰۰ و ۳۳۰۰۰ دور در دقیقه توربین انجام گرفت.

## ۷- نتایج آزمایش و بررسی آنها

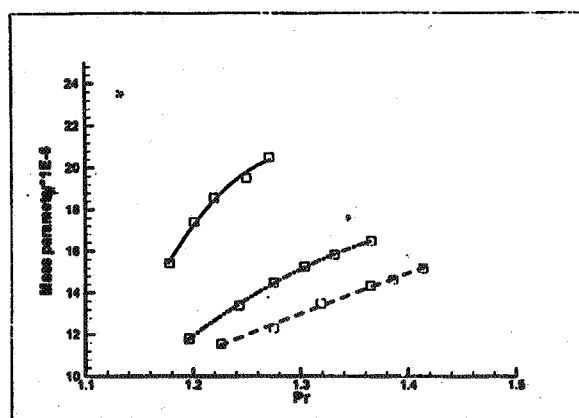
برای حالات مختلف آزمایش در یک سرعت ثابت توربین، مقادیر بازده توربین در نسبت فشارهای مختلف محاسبه می شود. در شکل (۴) این نتایج برای سرعت ۲۷۰۰۰ دور در دقیقه و سه حالت ۱- دو ورودی کاملاً باز ۲- مجرای داخلی کاملاً باز و مجرای خروجی کاملاً بسته و ۳- مجرای خروجی کاملاً باز و مجرای داخلی کاملاً



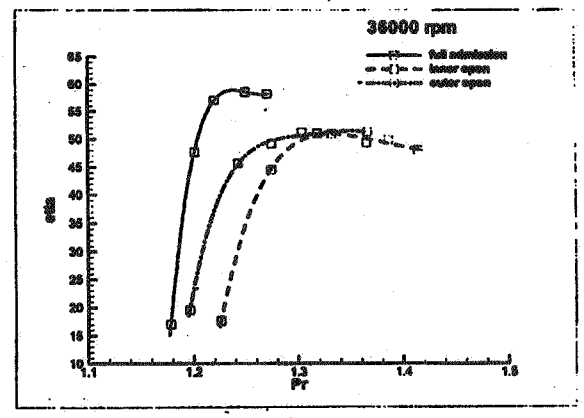
شکل ۷- تغییرات پارامتر جرمی در مقابل نسبت فشار توربین در سه حالت  
در سه حالت و در سرعت  $30000\text{ rpm}$



شکل ۸- تغییرات بازده در مقابل نسبت فشار توربین در سه حالت  
و در سرعت  $30000\text{ rpm}$



شکل ۹- تغییرات پارامتر جرمی در مقابل نسبت فشار توربین  
در سه حالت و در سرعت  $36000\text{ rpm}$



شکل ۱۰- تغییرات بازده در مقابل نسبت فشار توربین در سه  
حالت و در سرعت  $36000\text{ rpm}$

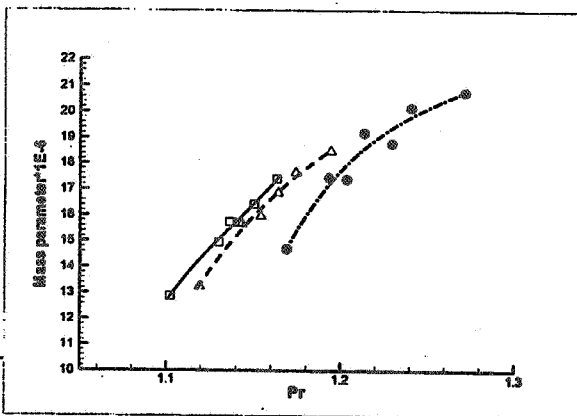
نسبت فشار وسیعتر می شود (از  $27000$  تا  $36000$  دور در دقیقه این محدوده تقریباً دو برابر می شود). همچنین نتایج آزمایش کاهش حداقل بازده با افزایش سرعت را نشان می دهد که به نظر می رسد مربوط به دبی جرمی کم و حساسیت اندازه گیری و به عبارت دیگر افزایش نسبی خطاهای اندازه گیری در سرعتهای پایین است.

در شکل (۱۱) تغییرات پارامتر جرمی توربین در مقابل نسبت فشار در حالت اولی و برای همان سه سرعت مشاهده می شود. روند کلی کاملاً مطابق انتظار است و به عبارت دیگر در نسبت فشار ثابت، با افزایش سرعت، پارامتر جرمی کاهش

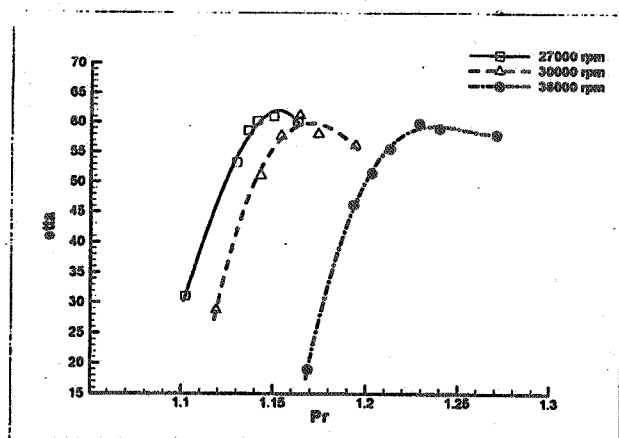
به ترتیب مشابه شکلهای (۴) و (۵) است، البته در این سرعت، محدوده نسبت فشار مقداری افزایش یافته است و با رفتار عمومی توربین مطابقت دارد.

در شکلهای (۸) و (۹) همین نتایج را برای سرعت  $36000$  دور در دقیقه توربین مشاهده می کنیم. روند کلی تغییرات حفظ شده و محدوده نسبت فشار باز هم افزایش یافته است.

در شکل (۱۰) تغییرات بازده توربین در مقابل نسبت فشار در حالت اول و برای سه سرعت فوق الذکر نشان داده شده است. شکل کلی منحنیها مشابه و سهمی گونه اند. از مقایسه این سه منحنی مشخص می شود که با افزایش سرعت توربین، محدوده



شکل ۱۱- تغییرات پارامتر جرمی در مقابل نسبت فشار توربین در سه سرعت دوران آن



شکل ۱۰- تغییرات بازده در مقابل نسبت فشار توربین در سه سرعت دوران آن

#### - نتیجه گیری

با توجه به آزمایش‌های انجام شده که در محدوده امکانات فعلی دستگاه آزمایش است و نتایج حاصل از آنها و مقایسه با نتایج تحقیقات مشابه مانند مراجع ۱۳-۱۱ عملکرد دستگاه آزمایش در حد مطلوب و دقیق بوده و قابل استناده است. توضیح آنکه روند کلی منحنیها کاملاً مشابه است دارد. همچنین اثر جریان جزئی در دو ورودی توربین در عملکرد و به خصوص بازده آن روند یکسانی را نشان می‌دهد. البته توسعه امکانات موجب افزایش محدوده کار و دقت‌های اندازه گیری بالاتر خواهد شد که امیدواریم با حمایتهای صنعت و دانشگاه این مرحله نیز انجام گیرد.

#### قدرتانی

از حمایتهای بخش‌های مختلف دانشگاه صنعتی شریف نظیر معاونت پژوهشی، دانشکده مکانیک و مرکز تحقیقات آب و انرژی و نیز از پشتیبانی مالی طرح خودرو وزارت صنایع سپاسگزاری می‌کنیم.

دارد. این امر می‌تواند مربوط به مقاومت حاصل از میدان گریز از مرکز در اطراف چرخ توربین باشد که تابعی از سرعت دوران چرخ توربین است.

همان طور که انتظار می‌رود منحنیهای بازده ابتدا صعودی هستند و پس از رسیدن به یک قله نزولی می‌شوند. دلیل این نوع تغییر به اتفاهی گوناگون جریان در شرایط مختلف مربوط است. در هر دور توربین تنها در یک محدوده کوچک جریان بصورت هموار وارد چرخ توربین می‌شود. در سایر وضعیتها به علت اختلاف زاویه جریان در ورود به چرخ توربین از مقدار زاویه بهینه، زاویه برخورد زیاد بوده و لذا جریان با افت برخورد تأم است [۱۶]. در نسبت فشارهای کم، دبی جریان کم و زاویه برخورد بزرگ است. به همین دلیل جریان با افت برخورد زیادی مواجه است. با افزایش دبی و با نزدیکی به شرایط بهینه زاویه برخورد کوچکتر و افت برخورد کمتر می‌شود و بازده افزایش می‌یابد. البته با افزایش دبی، اتفاهی اصطکاکی و اتفاهی ناشی از جریان ثانویه افزایش می‌یابد ولی بهر حال با حداقل شدن مجموعه اتفاهی جریان، بازده به حداقل خود می‌رسد. این به بعد علاوه بر اثر اتفاهی اصطکاکی و جریانهای ثانویه، افت برخورد نیز مجلداً رشد می‌کند و بازده روند نزولی پیدا می‌کند.

1. unsteady
2. quassisteady
3. twin-entry
4. Schwitzer

مراجع

1. حاجیلوی، ع، "مروری بر سیر تحولات تحقیقات توربوجارجر و توربوجارجرینگ"، سومین کنفرانس دینامیک شاره ها، دانشگاه صنعتی شریف، صص ۲۳۵-۱۳۷۷
2. Walsham, B. E., "Alternative Turbocharger System for the Automotive Diesel Engine," *Proc. IMechE, 4th Int. Conf. 'Turbocharging and Turbochargers'*, PP. 39-50, 1990.
3. Baines, N. C., "Partial Admission and Unsteady Flow in Radial Turbines," VKI Lecture, 1992.
4. Watson, N., and Jonata, M. S., "Turbocharging the Internal Combustion Engine", The McMillan Press LTD, London, 1982.
5. Chen, H., Hakeem, I., and Matinez-Botas, R. F., "Modeling of a Turbocharger Turbine under Pulsating Inlet Conditions," *Proc. IMechE, Part A, J. Power and Energy*, Vol. 210, PP. 397-408, 1996.
6. Payri, F., Benajes, J., and Reyes, M., "Modeling of Supercharger Turbines in Internal Combustion Engines," *Int. J. Mech. Sci.*, Vol. 38, No's 8-9, PP. 853-869, 1996.
7. Freeman, P. F., and Walsham, B. E., "A Guide to Some Analytical Turbocharger Matching Techniques", *IMechE 1st Conf. 'Turbocharging and Turbochargers'*, PP. 85-92, 1978.
8. Bozza, F., Nocera, R., Senatore, A., and Tuccillo, R., "Theoretical and Experimental Investigation of the Matching Between an I.C.E. and a Turbocharger", *SAE 901601, SAE90, Part 2, Sec. 3*, PP. 1921-1932, 1990.
9. Whitfield, A., "The Preliminary Design of Radial Inflow Turbines", *Trans. ASME, J. Turbomachinery*, Vol. 112, PP. 50-57, 1990.
10. Futral, S. M., and Wasserbauer, C. A., "Off-Design Performance Prediction with Experimental Verification for a Radial-Inflow Turbine," *NASA TN D-2621*, 1965.
11. Dale, A., and Watson, N., "Vaneless Radial Turbocharger Turbine Performance," *Proc. IMechE, 3rd Int. Conf. 'Turbocharging and Turbochargers'*, PP. 65-76, 1986.
12. Capobianco, M., and Gambarotta, A., "Performance of a Twin-Entry Automotive Turbocharger Turbine," *ASME Paper, 93-ICE-2*, 1993.
13. Hajilouy-Benisi, A., and Baines, N. C., "Twin-Entry Radial Inflow Turbine Performance Characteristics Under Steady and Unsteady Flow Conditions," *Scientia Iranica*, Vol. 6, No. 2, PP. 101-111, 1999.
14. Yaong, Y., and Penz, D. A., "The Design of a New Turbocharger Test Facility," *SAE Technical Paper Series, 900172*, 1990.
15. Spence, S. W. T., and Arlett, O. W., "Experimental Performance Evaluation of a 99mm Radial Inflow Nozzled Turbine with Different Stator Throat Areas," *Proc. IMechE, Vol. 212*.
16. حاجیلوی، ع، فرشچی، م. و قلیعه خانی، م. "مدل سازی رفتار حالت دائم توربین گازی جریان شعاعی"، اولین کنفرانس بین المللی و سومین کنفرانس سراسری انجمان هواپیمای ایران دانشگاه صنعتی شریف، صص ۳۷۳-۳۸۲، ۱۳۷۹